

# 用识别四个 GC 对的限制酶研究高等担子菌 线粒体 DNA \*

曾凡亚 汤海妹 张义正

(四川大学生物工程系 成都 610064)

**摘要** 本文报道了用识别四个 GC 对的限制性内切酶 HaeIII、CofI、MspI 酶切高等担子菌伞菌目 (*Agaricales*)、非褶菌目 (*Aphylophorales*) 12 个菌株的总 DNA，在琼脂糖凝胶上显现线粒体 DNA 带谱的结果。通过对带型、累加分子量、酶切片段数和同源性的分析表明，不同种类高等担子菌的线粒体 DNA 变化较大。研究还显示，以多种识别四个 GC 对的限制酶分析高等担子菌的线粒体 DNA 及其它们的 RFLP，比只用 HaeIII 更灵敏有效。

**关键词** 高等担子菌，线粒体 DNA，RFLP 分析

**分类号** Q 939.5

在近十多年里，对真菌线粒体基因组的分子生物学研究结果显示，真菌线粒体 DNA 分子的进化速度介于动物和植物之间<sup>[1]</sup>，它的变异丰富，在真菌的分子进化、类群划分和遗传多样性等研究中具有重要意义<sup>[2]</sup>。另外，真菌线粒体 DNA 的重组、突变与真菌的老化 (senescence) 也有密切的关系<sup>[3]</sup>。

利用真菌核 DNA 与线粒体 DNA 碱基组成上的差异，以识别 GGCC 的限制酶 HaeIII 酶切真菌总 DNA，可在琼脂糖凝胶上显示出它们的线粒体 DNA 带谱。这一现象已在藻状菌<sup>[4]</sup>、子囊菌<sup>[5]</sup>和几种致病的半知真菌<sup>[6~9]</sup>中有报道。我们还将这些特征性的线粒体 DNA 带谱用来研究真菌线粒体 DNA 多态性和作为分子标记区分菌株。为进一步探讨识别四个不同序列 GC 对的限制酶在真菌总 DNA 中显现线粒体 DNA 带的普遍性意义和应用这一方法分析高等担子菌线粒体 DNA 多态性，本文报道了分别用限制酶 HaeIII、CofI (GCGC) 和 MspI (CCGG) 酶切伞菌目 (*Agaricales*)、非褶菌目 (*Aphylophorales*) 12 个菌株总 DNA，显现它们线粒体 DNA 带谱的结果。

## 1 材料和方法

### 1.1 菌株

担子菌栽培菌株凤尾侧耳 (*Pleurotus sajor-caju*)、香菇 (*Lentinula edodes*) Cr02、草菇 (*Volvariella volvacea*) V4、双孢蘑菇 (*Agaricus bisporus*) 浙农 1 号、金针菇 (*Flammulina velutipes*) F10、真姬菇 (*Hypsizygus marmoreus*)、柱状田头菇 (*Agrocybe aegirita*)、滑菇

\*国家教委留学回国人员基金资助。

收稿日期：1997-04-28

(*Pholiota nameko*)、灵芝(*Ganoderma lucidum*)川芝6号、猴头(*Hericium erinaceus*)H6均购自农业部四川食用菌菌种场。白腐担子菌黄孢原毛平革霉(*Phanerochaete chrysosporium*)BKM-F-1767(ATCC 24725)和ME-446(ATCC 34541)为本实验室保存菌种。

## 1.2 DNA 制备

1.2.1 总DNA按文献[10]的方法制备。

1.2.2 凤尾侧耳线粒体DNA采用bisbenzimide氯化铯密度梯度离心纯化制备<sup>[11]</sup>。

## 1.3 DNA的酶切和电泳

本实验所用限制酶购自美国的BRL和德国的宝灵曼公司,采用厂商提供的酶切缓冲液和推荐的方法进行酶切。酶切样品用0.8%的琼脂糖凝胶,1×TAE缓冲液电泳和按Sambrook等<sup>[12]</sup>的方法进行溴乙锭染色。

## 1.4 Southern杂交

参照Sambrook等<sup>[12]</sup>的方法将电泳后的DNA样品进行Southern转移,固定和杂交。洗膜采用室温下洗二次后,在65℃下用1×SSC,0.1%SDS洗两次,每次15min。克隆的凤尾侧耳线粒体DNA探针H4与H2的分离和标记以及凤尾侧耳线粒体DNA探针的标记均按以前的方法进行<sup>[13]</sup>。

## 1.5 相似性分析

DNA的相似分析(DNA relatedness)采用Nei等人<sup>[14]</sup>的方法,用公式 $F = 2Nxy / (Nx + Ny)$ 计算,其中Nx和Ny分别代表进行比较的两菌株酶切后可见DNA带的数目,Nxy代表两菌株中相同DNA带的数目。

# 2 结果

## 2.1 三种限制酶酶切总DNA的结果

用三种识别四个GC对的限制性内切酶HaeIII、CfoI、MspI分别酶切上述12个菌株总DNA,经琼脂糖凝胶电泳,所有样品道上都在被切成弥散状的小分子核DNA后面显示出分子量较大的线粒体DNA带,并且同种酶在不同的菌株和不同的酶在相同的菌株中出现的带型完全不一样(图1)。经多次制备总DNA和重复酶切,这些带谱能稳定地重复。

## 2.2 Southern杂交

为证实上述三种限制酶酶切总DNA所产生的分子量较大的可见带都来自线粒体DNA,以氯化铯梯度离心纯化的凤尾侧耳线粒体DNA为探针,与凤尾侧耳总DNA酶切后显现的DNA带进行Southern杂交。结果显示:凤尾侧耳线粒体DNA探针能与琼脂糖凝胶上显现的所有分子量较大的DNA带杂交(图2H,I,J),说明这些带来源于线粒体DNA。

以两个克隆的凤尾侧耳线粒体DNA片段H4和H2<sup>[13]</sup>为探针,与图1中8个菌株(图1I,II)的酶切总DNA杂交,结果表明,所有样品中都有1~3条DNA带能与探针H4杂交。显然,H4的序列在不同担子菌线粒体DNA中具有广泛的同源性(图3);而探针H2除与三种酶切的凤尾侧耳总DNA中的可见线粒体DNA带杂交外(图2E,F,G),仅能同草菇DNA带产生弱杂交带,与其它菌株的DNA则不杂交,表现出较强的特异性。

## 2.3 不同酶切样品中DNA带的分子量计算

三种识别四个GC对的限制酶作用12株高等担子菌总DNA,在琼脂糖凝胶上显现的

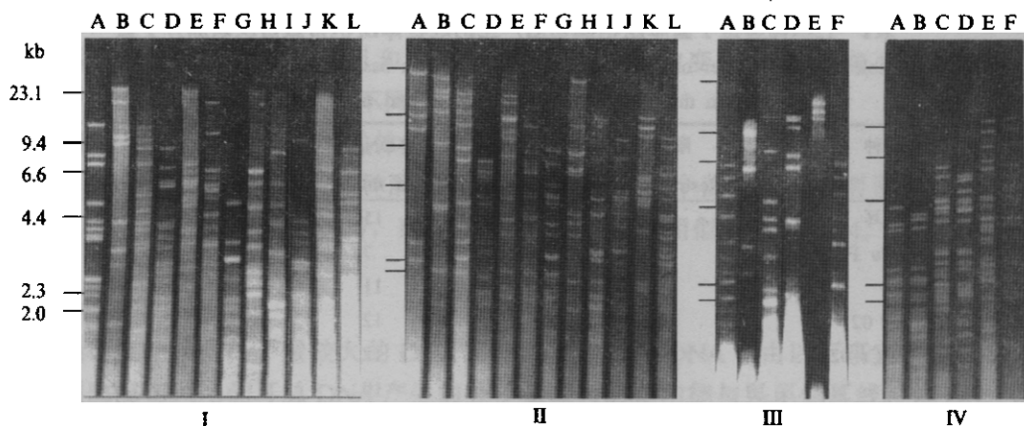


图1 HaeIII、CfoI、MspI酶切12个菌株总DNA显现的线粒体DNA图谱

Fig.1 mtDNA band patterns of 12 basidiomycetous strains by digesting their genomic DNA with four-GC-cutter restriction enzymes, HaeIII, CfoI and MspI, respectively

(I) *P. sajor-caju* FWG (A, B, C), *L. edodes* Cr02 (D, E, F), *V. volvacea* V4 (G, H, I), *A. bisporus* ZN1 (J, K, L); (II) *F. velutipes* F10 (A, B, C), *A. aegirita* ZZTG (D, E, F), *P. nameko* HG (G, H, I), *H. marmoreus* ZJG (J, K, L); (III) *G. lucidum* CZ6 (A, B, C), *H. erinaceus* H6 (D, E, F); (IV) *P. chrysosporium* BKM-F-1767 (A, C, E), ME-446 (B, D, F).

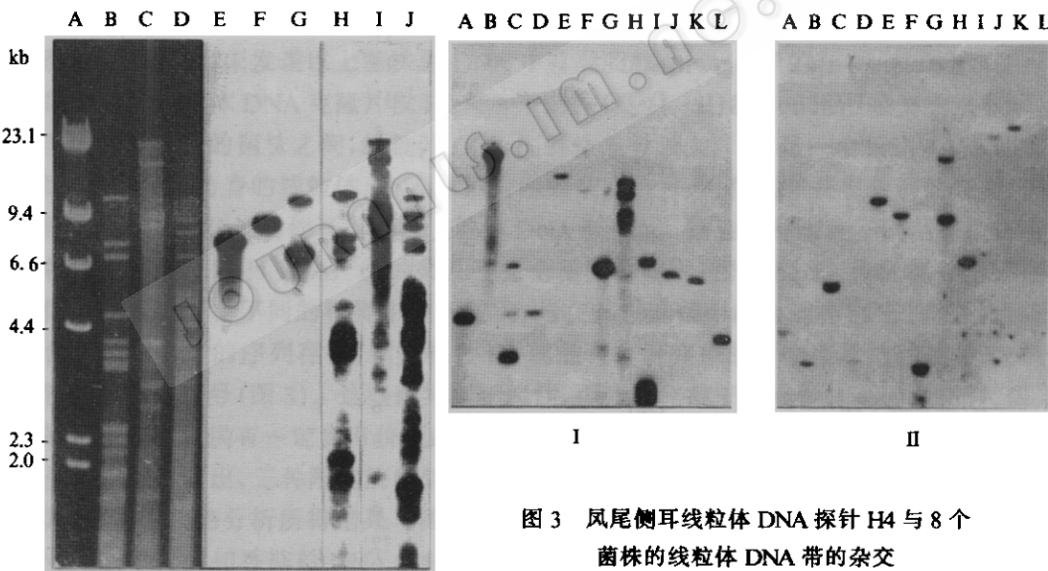


图2 三种识别四GC对限制酶切凤尾侧耳总DNA及杂交结果

HaeIII(B, E, H)、CfoI(C, F, I)、MspI(D, G, J)酶切凤尾侧耳总DNA与H2探针的杂交(E—G)和与凤尾侧耳线粒体DNA探针的杂交(H—J), A为HindIII酶切λDNA标准分子量。

Fig.2 Restriction and hybridization analysis of total DNA of *P. sajor-caju* FWG

HaeIII(lane B, E, H), CfoI(C, F, I) and MspI(D, G, J); probing with mtDNA(H, I, J) and cloned mitochondrial fragment H2(E, F, G), respectively.

图3 凤尾侧耳线粒体DNA探针H4与8个菌株的线粒体DNA带的杂交  
各道样品的排列顺序同图1(I), (II)。

Fig.3 Hybridization of mtDNA fragments of 8 strains with cloned mtDNA fragment H4  
The content of each lane is same as that of (I) and (II) in Fig.1.

表1 12株高等担子菌总DNA酶切后产生的线粒体DNA带数目及累加分子量

Table 1 The number of mtDNA bands emerged from basidiomycetous genomic DNA digested with three four-GC-cutter enzymes and their summated sizes

菌 种	限制酶种类	线粒体DNA片段数	累加分子量 (kb)
Strain	Restriction enzyme	Number of mt DNA band	Summated size
凤尾侧耳	HaeIII	15	61
<i>P. sajor-caju</i> FWG	CofI	7	73
	MspI	11	63
香菇 Cr 02	HaeIII	12	50
<i>L. edodes</i> Cr 02	CofI	12	50
	MspI	10	69
草 菇 V4	HaeIII	8	23
<i>V. volvacea</i> V4	CofI	11	45
	MspI	8	34
双孢蘑菇浙农1号	HaeIII	8	40
<i>A. bisporus</i> ZN1	CofI	14	53
	MspI	9	51
金 针 菇	HaeIII	6	51
<i>F. velutipes</i> F10	CofI	10	87
	MspI	11	73
柱状田头菇	HaeIII	15	60
<i>A. aegirita</i> ZZTG	CofI	11	77
	MspI	8	43
滑 菇	HaeIII	10	41
<i>P. nameko</i> HG	CofI	10	59
	MspI	16	60
真 姬 菇	HaeIII	9	40
<i>H. mamoreus</i> ZIG	CofI	13	66
	MspI	12	53
灵芝 川芝6号	HaeIII	11	38
<i>G. lucidum</i> CZ6	CofI	6	39
	MspI	9	41
猴 头 H6	HaeIII	9	60
<i>H. erinaceus</i> H6	CofI	6	60
	MspI	12	59
黄孢平革霉BKM-F-1767	HaeIII	8	25
<i>P. chrysosporium</i>	CofI	12	49
BKM-F-1767	MspI	17	87
黄孢平革霉ME-446	HaeIII	8	25
<i>P. chrysosporium</i>	CofI	13	56
ME-446	MspI	15	81

注：凡是在 EB 染色的琼脂糖凝胶道上出现很亮的带，被认为包含了至少两个分子量相近的片段，在计算片段数和总分子量时被加了两次。

Note: Some brighter bands on the same lane of agarose gel were supposed to contain at least two fragments with similar size and their molecular weight was doubled in the size summation.

线粒体 DNA 带数目及其累加分子量见表 1。从表 1 和图 1 可以看出: 相同菌株用不同限制酶切后, 线粒体 DNA 带的数目和累加分子量都有较大的变化; 同种酶在不同菌株中产生的线粒体 DNA 带也几乎完全不同。

#### 2.4 黄孢原毛平革霉两菌株线粒体的种内多态性

根据相似系数的公式, 将三种酶切黄孢原毛平革霉两个菌株产生的明显可区分的线粒体 DNA 带分别相加, 得  $N_x=37$ ,  $N_y=36$ ,  $N_{xy}=27$ , 算得相似系数  $F=0.74$ 。

### 3 讨论

本项研究结果中分子量较大的 DNA 带来源于线粒体 DNA 可由以下事实来支持: (1) 三种限制酶酶切凤尾侧耳总 DNA 产生的分子量较大的带均能与凤尾侧耳线粒体 DNA 杂交(图 2); (2) 克隆的凤尾侧耳线粒体 DNA 探针 H4 能与测试过的酶切 DNA 中的 1~3 条 DNA 带杂交(图 3); (3) 高等担子菌总 DNA 经酶切后能在琼脂糖凝胶上直接显带的有线粒体 DNA、核 DNA 重复序列以及类质粒 DNA。Raeder 曾报道高等担子菌核 DNA 中的重复序列约占总 DNA 的 5%, GC 含量 53%, 与核 DNA 的 59%GC 含量极为相似<sup>[15]</sup>, 识别四个 GC 对的限制酶可将它切成很小的片段(理论长度约 200bp)。但是, 高等担子菌线粒体 DNA 的 GC 含量一般只有 30~40%<sup>[16]</sup>, 经上述限制酶完全酶切后应产生分子量较大的片段, 能与小片段的核 DNA 分开并显带。另外, 通过脉冲场凝胶电泳(CHEF)和 0.5% 的常规琼脂糖凝胶电泳, 未发现以上菌株总 DNA 中有类质粒 DNA 分子的存在。

凤尾侧耳线粒体 DNA 克隆片段 H2 与 8 个菌株(图 II, II)的 Southern 杂交结果显示, 在这些同为伞菌目的菌株之间, 线粒体 DNA 同源性差异较大。H2 是一个长达 4.1kb 的片段, 除与凤尾侧耳自身的线粒体 DNA 片段有强的杂交信号外, 仅与草菇有较弱的杂交, 但该片段能与 8 个试验过的侧耳属菌株线粒体 DNA 杂交<sup>[13]</sup>。结合同种酶在不同菌株中产生的线粒体 DNA 带和 H4 杂交产生的带几乎完全不同的结果(图 1, 图 3), 推测高等担子菌线粒体基因组序列在不同的种类中差异较大, 与在其它真菌中的报道相似<sup>[2]</sup>。但是, 也确有进化上比较保守的序列存在, 例如探针 H4 就能与本研究中的 8 个菌株的线粒体 DNA 产生较强的杂交信号(图 3)。这些差异和相似性, 可为研究担子菌线粒体基因组在科、属、种级的系统演化提供有一定参考价值的信息。

从表 1 可以看出, 三种限制酶酶切相同总 DNA 所获得的线粒体 DNA 分子量有明显的差异, 有的限制酶分析所得结果与纯化的线粒体 DNA 大小相近, 如 CofI 酶切凤尾侧耳总 DNA 和 MspI 酶切香菇总 DNA 的线粒体 DNA 带与已报道的结果比较接近<sup>[17, 18]</sup>。但有的限制酶酶切结果则与纯化的线粒体 DNA 大小差异较大, 如三种酶酶切双孢蘑菇总 DNA 产生的线粒体 DNA 带的累加分子量都与已报道的结果有较大差异<sup>[19]</sup>, 这可能是该属不同种或菌株间线粒体 DNA 的分子量变化较大所致。类似结果在大肥菇(*A. bitorquis*)与亲缘关系极近的褐变菇(*A. brunneascens*)中已有报道, 它们的线粒体 DNA 分子量相差达一倍之多<sup>[2]</sup>。因此, 利用识别四个 GC 对的限制酶在总 DNA 中研究线粒体 DNA 时, 尤其是用来估计线粒体 DNA 分子量和进行基因定位时, 选用几种酶比只使用一种酶更具有代表性, 在进行线粒体 DNA 的 RFLP 分析时, 也具有更高的灵敏度。

## 参考文献

- [1] Kurtland C G. *Bioessays*, 1992, 14(10): 709~714.
- [2] Taylor J W. *Exp Mycol*, 1986, 10: 259~269.
- [3] 孙 狄. 真菌学报, 1990, 9: 81~92.
- [4] Mills S D, Forster H, Coffey M D. *Mycol Res*, 1991, 95: 31~48.
- [5] Lecellier G, Silar P. *Curr Genet*, 1994, 25: 122~123.
- [6] Marriot A C, Archer S A, Buck K W. *J Gen Microbiol*, 1984, 130: 3001~3008.
- [7] Spitzer E D, Lasker B A, Travis S J et al. *Infect Immun*, 1989, 57: 1409~1412.
- [8] Typas M A, Griffen A M, Bainbridge B W et al. *FEMS Microbiol Lett*, 1992, 95: 157~162.
- [9] Crous P W, Janse B J H, Tnubridge J et al. *Mycol Res*, 1995, 99: 1098~1102.
- [10] 曾凡亚, 张义正. 食用菌学报, 1996, 3(3): 13~17.
- [11] Garber R C, Yoder O C. *Anal Biochem*, 1983, 135: 416~422.
- [12] Sambrook J, Fritsch E F, Maniatis T. Molecular cloning. 2nd. ed. Cold Spring Harbor Laboratory Press. Cold Spring Harbor, NY: 1989.
- [13] 曾凡亚, 汤海妹, 张义正. 四川大学学报, 1996, 33: 438~442.
- [14] Nei M, Li WH. *Proc Natl Acad Sci USA*, 1979, 76: 5269~5273.
- [15] Raeder U, Broda P. *Methods In Enzymology*, 1988, 161: 211~220.
- [16] Kurtzman C P, Molecular taxonomy of the fungi. In: Gene manipulations in fungi. Academic Press, Orlando, Fla. 1985.
- [17] Byun M O, Kim K S, You C H et al. *Korean J Mycol*, 1994, 22(2): 117~121.
- [18] Matsumoto T, Fukkumasa-nakai Y. *Mycol Res*, 1995, 99: 562~566.
- [19] Hintz W E, Anderson J B, Horgen P A. *Curr Genet*, 1988, 14: 43~49.

## ANALYSIS OF HIGHER BASIDIOMYCETOUS MITOCHONDRIAL DNA WITH FOUR-GC-CUTTER RESTRICTION ENZYMES

Zeng Fanya Tang Haimei Zhang Yizheng

(Biotechnology Department, Sichuan University, Chengdu 610064)

**Abstract** The mitochondrial DNA band patterns emerged from basidiomycetous genomic DNA digested with four-GC-cutter restriction enzymes, HaeIII, CfoI and MspI, were reported in this paper. It was demonstrated that mtDNAs of higher basidiomycetes had abundant diversity after comparison of their band patterns, summated sizes, the number of fragments and homology among 12 strains of *Agaricales*, *Aphyllophorales*. The results also showed that the technique, displaying fungal mtDNA bands directly from their total DNA, would be more efficient and sensitive for analyses of fungal mtDNA RFLP if several four-GC-cutter restriction enzymes, instead of one, were used.

**Key words** Higher basidiomycetes, Mitochondrial DNA, RFLP analysis